

# TAXAS DE DENUDAÇÃO EM MACIÇOS CRISTALINOS NO NORDESTE BRASILEIRO, CEARÁ

Danielle Lopes de Sousa Lima <sup>1</sup>

Frederico de Holanda Bastos <sup>2</sup>

Lionel Siame <sup>3</sup>

Abner Monteiro Nunes Cordeiro 4

#### **RESUMO**

Os maciços de Baturité, Aratanha, Maranguape e Uruburetama, localizados no semiárido brasileiro, constituem planaltos graníticos e metamórficos situados no Domínio Ceará Central (DCC), que representam o maior domínio tectônico da porção setentrional da Província Borborema. O presente trabalho tem como objetivo analisar as taxas de denudação desses maciços e interpretar os aspectos litoestruturais e climáticos relacionados à sua evolução. Para tanto, foram coletadas amostras de afloramentos de rochas e de sedimentos fluviais, que foram analisadas para mensurar as concentrações do nuclídeo cosmogênico <sup>10</sup>Be produzido *in situ* em grãos de quartzo para se obter as taxas de denudação. No maciço metamórfico de Baturité, as taxas médias de denudação estimadas nos sedimentos fluviais das encostas são de  $18.0 \pm 1.8$  m/Ma, enquanto nos afloramentos do topo a taxa reduz consideravelmente para 2,8 ± 0,2 m/Ma. Situação semelhante ocorre nos macicos graníticos de Aratanha e Maranguape, verificando-se taxas médias de 17,3 ± 1,7 m/Ma nos sedimentos fluviais, com redução para  $2.8 \pm 0.2$  m/Ma nos afloramentos. Por sua vez, o macico granítico de Uruburetama apresenta taxas médias de denudação de  $12.7 \pm 1.1$  m/Ma nos sedimentos fluviais, enquanto nos afloramentos estas diminuem para  $3.6 \pm 0.3$  m/Ma. Esses dados evidenciam claramente o papel da erosão diferencial de granitos, quartzitos e ortognaisses em termos de evolução geomorfológica regional mantendo maciços, enquanto que rochas paraderivadas constituem superfícies de aplainamento. Além disso, destaca-se também o controle edafoclimático, onde as áreas de barlavento apresentam taxas médias de 13,4 ± 1,3 m/Ma, enquanto que os setores de sotavento apresentam valores 18,0 ± 1,7 m/Ma, indicando o papel da vegetação na diminuição da denudação.

**Palavras-chave:** Nuclídeos Cosmogênicos, Evolução Geomorfológica, Maciços Cristalinos, Semiárido Brasileiro.

## INTRODUÇÃO

O desenvolvimento e incorporação de técnicas e métodos aplicados aos processos denudacionais, proporcionam novas perspectivas nas investigações geomorfológicas,

<sup>&</sup>lt;sup>1</sup> Departamento de Geografia, Universidade Estadual do Ceará (UECE), Fortaleza, Ceará danielle.llopes@hotmail.com;

<sup>&</sup>lt;sup>2</sup> Departamento de Geografia, Universidade Estadual do Ceará (UECE), Fortaleza, Ceará fred.holanda@uece.br;

<sup>&</sup>lt;sup>3</sup> Centre de Recherche et d'Enseignement de Géosciences de l'Environnement, Université Aix-Marseille (AMU), Aix-En-Provence, França, <u>siame@cerege.fr</u>;

<sup>&</sup>lt;sup>4</sup> Departamento de Geografia, Universidade Federal do Rio Grande do Norte, Centro de Ensino Superior do Seridó, Caicó, Rio Grande do Norte, <u>abner.cordeiro@ufrn.br</u>.



possibilitando restringir as taxas de evolução da paisagem. No âmbito da Geomorfologia o isótopo cosmogênico Berílio-10 (<sup>10</sup>Be) produzido *in situ* no quartzo possui grande aplicabilidade, mostrando-se como um importante método para o desenvolvimento de estudos quantitativos dos mecanismos envolvendo a evolução da superfície terrestre (Braucher *et al.*, 2000; Siame; Braucher; Bourlès, 2000).

Os maciços de Baturité, Aratanha, Maranguape e Uruburetama (Figura 1), localizados no semiárido brasileiro, constituem planaltos graníticos e metamórficos situados no Domínio Ceará Central (DCC), configurando como relevos residuais montanhosos que se destacam ao longo de superfícies de aplainamento regionais.

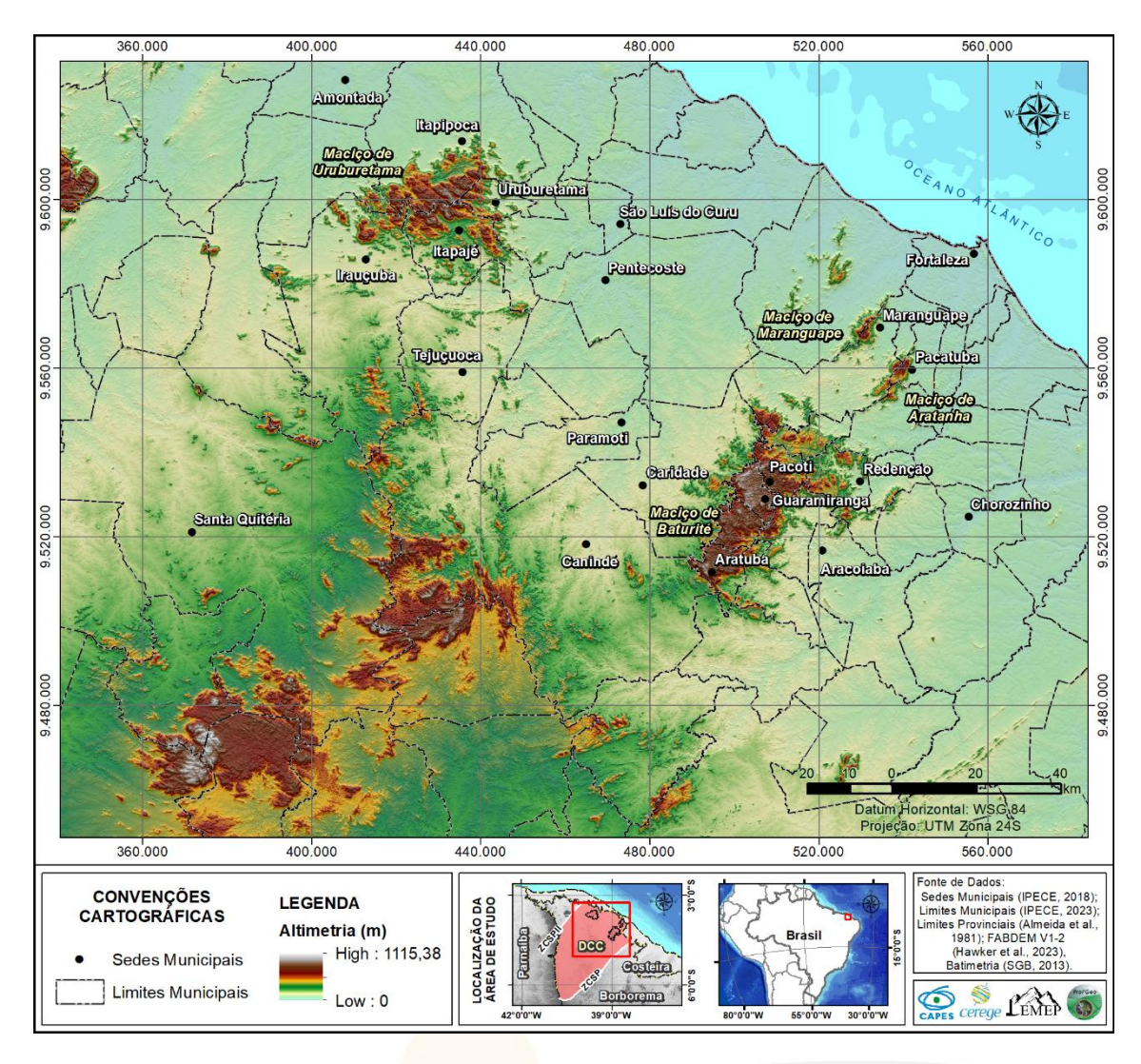


Figura 1 – Localização da área de estudo, Ceará, Brasil.

O DCC se caracteriza como o bloco tectônico de maior expressão da porção setentrional do cinturão orogênico Neoproterozóico conhecido como Província



Borborema (Angelim *et al.*, 2003; Fetter *et al.*, 2000; Angelim *et al.*, 2003; Brito Neves; Santos; Van Schmus, 2000), cujo soerguimento cenozoico lhe conferiu a condição de mais importante divisor de águas do Ceará (Saadi; Torquato, 1992).

Geomorfologicamente, o DCC é marcado por forte controle estrutural decorrente de zonas de cisalhamento transcorrentes do Neoproterozoico e da reativação tectônica no Cretáceo (Brito Neves *et al.*, 1999; Peulvast; Claudino-Sales, 2004), que influenciaram a dissecação e a orientação preferencial dos maciços residuais (Maia; Bezerra; Claudino-Sales, 2010). O DCC reúne registros significativos da evolução geodinâmica da Província Borborema.

Deste modo, o presente trabalho tem como objetivo analisar as taxas de denudação desses maciços pré-litorâneos e interpretar os aspectos litoestruturais e climáticos relacionados à sua evolução. Por meio da integração de dados geológicos, geomorfológicos, climáticos e isotópicos, o estudo contribui para ampliar o conhecimento sobre os mecanismos que regulam a morfodinâmica desses compartimentos do relevo nordestino.

#### MATERIAL E MÉTODOS

As etapas metodológicas adotadas na elaboração deste trabalho fundamentaramse em levantamento bibliográfico sobre os aspectos geológicos, geomorfológicos e climáticos da área de estudo. Esses aspectos constituem fatores associados aos processos denudacionais, sendo variáveis relevantes no contexto da morfodinâmica. Para isso, foram considerados os estudos de Bastos (2012); Bastos e Cordeiro (2021); Bétard e Peulvast (2011); Cordeiro *et al.* (2023), Funceme (2024), Lima *et al.* (2019); Pineó *et al.* (2020), Pitombeira *et al.*, (2021), Souza (2000), entre outros.

As taxas de denudação máximas foram estimadas a partir da concentração do isótopo cosmogênico <sup>10</sup>Be *in situ* em 49 amostras coletadas em trabalhos de campo: 35 de sedimentos fluviais coletados nos exutórios de bacias hidrográficas e 14 de afloramentos de rochas situados em cristas e domos rochosos. As análises foram realizadas no *Laboratoire National des Nucléides Cosmogéniques* (LN2C), no *Centre Européen de Recherche et d'Enseignement des Géosciences de l'Environnement* (CEREGE) na França.



As amostras passaram por análises laboratoriais que envolvem seleção granulométrica, separação física, magnética e gravimétrica. Sendo realizados os procedimentos necessários para concentrar e purificar o quartzo (SiO<sup>2</sup>) nas amostras, assim como a separação química do Be e a medição isotópica por *Accelerator Mass Spectrometry* (AMS) (Arnold *et al.*, 2010; Bierman *et al.*, 2021; Braucher *et al.*, 2011; Gosse; Phillips, 2001). A preparação das amostras seguiu o protocolo adaptado de Brown *et al.* (1991) e Merchel e Herpers (1999) e por Braucher *et al.* (2011).

Os dados obtidos foram relacionados ao arcabouço litoestrutural da área (Pinéo *et al.*, 2020; Pitombeira *et al.*, 2021), com o objetivo de identificar variações nas taxas de denudação e evidenciar a influência da litologia sobre os processos de erosão diferencial. Ademais, avaliou-se a atuação de fatores climáticos, como os efeitos de barlavento e sotavento, na dinâmica dos processos denudacionais, considerando as interações entre clima (Funceme, 2024), solos e cobertura vegetal na evolução da paisagem.

## RESULTADOS E DISCUSSÃO

No maciço metamórfico de Baturité, as taxas médias de denudação estimadas nos sedimentos fluviais situados nas encostas do maciço são de  $18.0 \pm 1.8$  m/Ma, enquanto nos afloramentos do topo do relevo a taxa reduz consideravelmente para  $2.8 \pm 0.2$  m/Ma, indicando um ritmo de denudação mais lento em afloramentos rochosos.

Situação semelhante ocorre nos maciços graníticos de Aratanha e Maranguape, verificando-se taxas médias de  $17.3 \pm 1.7$  m/Ma nos sedimentos fluviais, com redução para  $2.8 \pm 0.2$  m/Ma nos afloramentos. Já o maciço granítico de Uruburetama apresenta taxas médias de denudação de  $12.7 \pm 1.1$  m/Ma nos sedimentos fluviais, enquanto nos afloramentos estas diminuem para  $3.6 \pm 0.3$  m/Ma.

As bacias regionais situadas preferencialmente nas superfícies sertanejas apresentam uma taxa média de denudação intermediária de  $14,0 \pm 1,2$  m/MA, variando de  $13,3 \pm 0,9$  (DL22-16, rio Aracatiaçu),  $13,4 \pm 1,2$  (DL22-17, rio Choró) e  $15,4 \pm 1,5$  (DL22-01, rio Curu).

Esses dados evidenciam claramente o papel da erosão diferencial de granitos, quartzitos e ortognaisses em termos de evolução geomorfológica regional tendo menor competência denudacional para rebaixar esses maciços, enquanto que rochas paraderivadas constituem superfícies de aplainamento rebaixadas mais rapidamente.



Verifica-se que os maciços estudados apresentam uma ampla variação nas taxas de denudação, especialmente nas bacias hidrográficas, cujos valores oscilam entre 3,5 e 32,8 m/Ma. Nos afloramentos rochosos, as taxas são mais baixas e apresentam menor variabilidade, variando de 1,1 a 8,1 m/Ma. Em relação à litologia, as amostras coletadas em quartzito revelam taxas entre 2,6 e 2,9 m/Ma, enquanto aquelas obtidas em granitos demonstram um intervalo mais amplo, de 1,1 a 8,1 m/Ma. Esse dados refletem um contraste na dinâmica de denudação entre os diferentes ambientes (Figura 2).

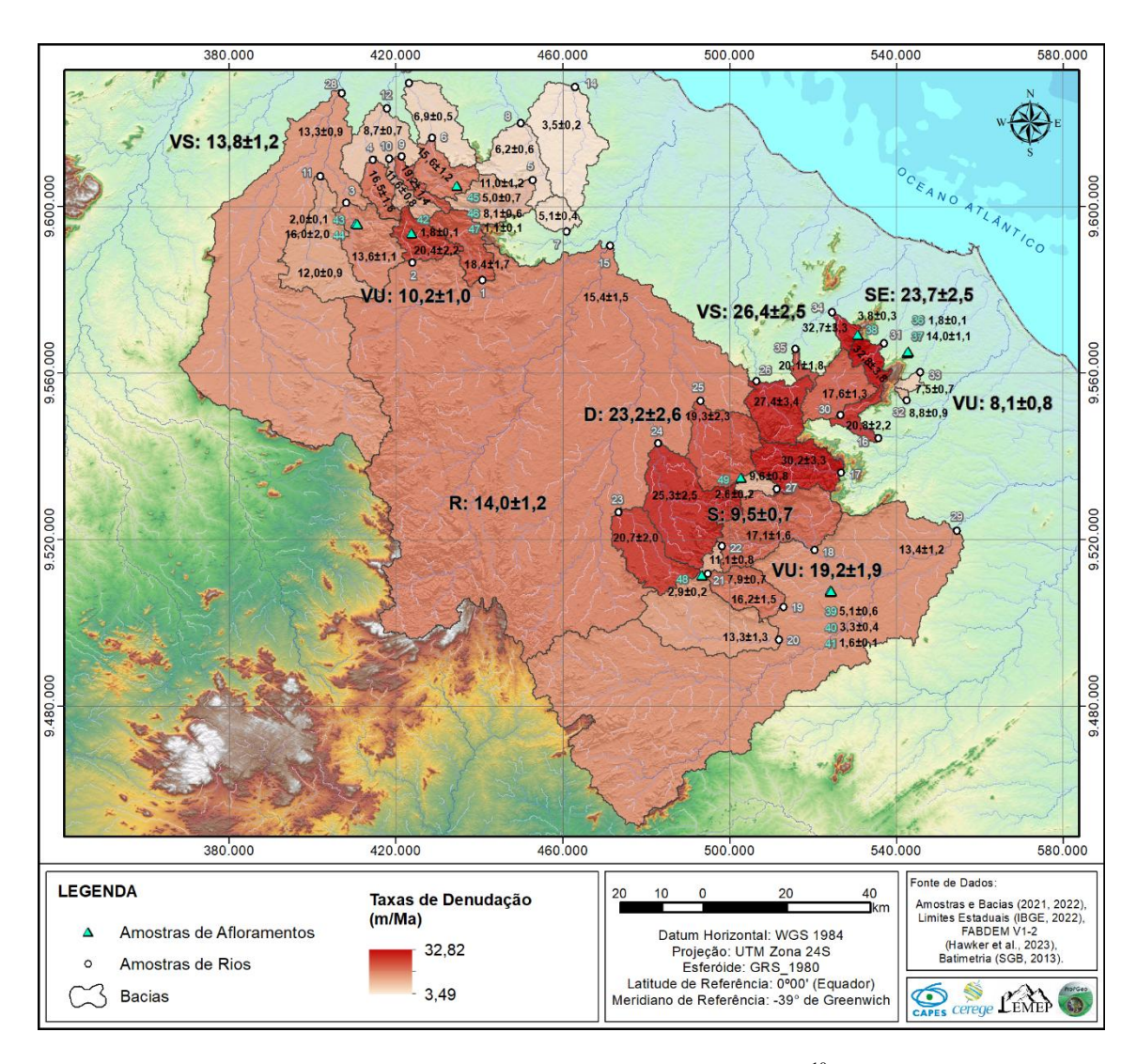


Figura 2 – Taxas de denudação (m/Ma) a partir de concentrações *in situ* de <sup>10</sup>Be medidas em sedimentos fluviais e em afloramentos de rocha. Os números pretos grandes correspondem aos valores médios e incertezas de 1σ para taxas máximas de denudação calculadas usando <sup>10</sup>Be *in situ* e a suposição de equilíbrio secular. Abreviações: S: Somital; VU: vertente úmida; VS: vertente seca; SE: Superfície Erosiva; R: Bacias Regionais.



Sob a perspectiva mesoclimática, os setores de barlavento apresentam taxas médias de denudação de  $13.4 \pm 1.3$  m/Ma, com valores de  $8.1 \pm 0.8$  m/Ma em Aratanha,  $10.2 \pm 1.0$  m/Ma em Uruburetama e  $19.2 \pm 1.9$  m/Ma em Baturité. Em contraste, as áreas situadas em sotavento registram taxas médias mais elevadas, alcançando  $18.0 \pm 1.7$  m/Ma, com destaque para os valores de  $26.4 \pm 2.5$  m/Ma em Maranguape,  $13.8 \pm 1.2$  m/Ma em Uruburetama e  $23.2 \pm 2.6$  m/Ma em Baturité.

De modo geral, verifica-se que os setores mais secos de sotavento apresentam taxas de denudação mais elevadas, resultado direto das características resistásicas dessas áreas. A cobertura vegetal arbustiva oferece pouca proteção contra os processos erosivos, especialmente em ambientes semiáridos sujeitos a chuvas intensas e concentradas em curtos períodos do ano. Adicionalmente, os acentuados declives desses compartimentos favorecem a ação erosiva dessas áreas.

A cobertura vegetal e as propriedades do solo desempenham papel fundamental no controle da erosão, contribuindo para a retenção e estabilização dos sedimentos superficiais. Contudo, em áreas de relevo acentuado, a inclinação favorece o deslocamento de materiais coluviais, intensificando os processos de transporte e redistribuição de sedimentos ao longo das vertentes.

Com base nos dados analisados, observa-se que os maciços de Baturité, Aratanha e Maranguape, bem como suas áreas adjacentes, concentram as maiores taxas máximas de denudação da região estudada, superando os valores registrados no maciço de Uruburetama e entorno. Essa diferença pode estar relacionada à interação entre fatores litológicos, climáticos, geomorfológicos, pedológicos, com destaque para o papel da vegetação na redução dos processos erosivos.

# CONSIDERAÇÕES FINAIS

As taxas de denudação analisadas refletem variações significativas entre diferentes litologias, formas de relevo e condições climáticas. Os maciços de Baturité, Aratanha e Maranguape concentram os maiores valores quando comparados ao maciço de Uruburetama. De modo geral, os setores de sotavento apresentam taxas mais elevadas, onde a limitada proteção da vegetação e os declives acentuados favorecem a erosão. Em contraste, os topo dos maciços (em afloramentos) mostram taxas mais baixas, indicando um ritmo de denudação mais lento. Os granitos, quartzitos e ortognaisses são mais



resistentes, enquanto que rochas paraderivadas constituem superfícies de aplainamento. A combinação entre clima, relevo, tipo de rocha e cobertura vegetal define a dinâmica erosiva regional. Dessa forma, apresentam-se informações que podem servir como subsídio para a interpretação da evolução geomorfológica dos maciços cristalinos da Província Borborema a partir da quantificação das taxas de denudação em relevos bastante representativos do DCC como os maciços pré-litorâneos.

#### **AGRADECIMENTOS**

Os autores agradecem à Coordenação de Aperfeiçoamento de Pessoal de Nível Superior (CAPES), por meio do Comitê Francês de Avaliação da Cooperação Universitária com o Brasil (CAPES/COFECUB), pelo apoio à pesquisa através da concessão de bolsa de doutorado ao primeiro autor. Estendem seus agradecimentos ao *Centre Européen de Recherche et d'Enseignement des Géosciences de l'Environnement* (CEREGE), pelo acolhimento e análises laboratoriais, e ao Laboratório de Estudos Morfoestruturais e Pedológicos (LEMEP) da Universidade Estadual do Ceará (UECE), por todo o suporte durante o desenvolvimento da pesquisa de doutorado.

### REFERÊNCIAS

ANGELIM, L. A. A.; VASCONCELOS, A. M.; GOMES, I. P.; SANTOS, E. J. Geotectônica do Escudo Atlântico: Província Borborema. In: BIZZI, L. A.; SCHOBBENHAUS, C.; VIDOTTI, R. M.; GONÇALVES, J. H. (Orgs.). **Geologia, tectônica e recursos minerais do Brasil**: textos, mapas e SIG. Brasília: Serviço Geológico do Brasil, 2003. cap. 5, p. 264–281.

ARNOLD, M.; MERCHEL, S.; BOURLÈS, D. L.; BRAUCHER, R.; BENEDETTI, L.; FINKEL, R. C.; AUMAÎTRE, G.; GOTTDANG, A.; KLEIN, M. The French accelerator mass spectrometry facility ASTER: improved performance and developments. **Nuclear Instruments and Methods in Physics Research Section B**: Beam Interactions with Materials and Atoms, v. 268, n. 11–12, p. 1954–1959, 2010.

BASTOS, F. de H. Movimentos de massa no Maciço de Baturité (Ce) e contribuições para estratégias de planejamento ambiental. 2012. 257 f. Tese (Doutorado em Geografia) – Programa de Pós-Graduação em Geografia, Universidade Federal do Ceará, Fortaleza, 2012.



BASTOS, F. H.; CORDEIRO, A. M. N. Geomorphological properties of the rocks and their repercussions in the relief of the north sector in Brazilian Northeast region. **W.M. Davis Revista de Geomorfologia**, v. 2, n. 1, p. 1–33, 2021.

BÉTARD, F.; PEULVAST, J.-P. Evolução morfoestrutural e morfopedológica do Maciço de Baturité e de seu Piemont: do Cretáceo ao presente. In: BASTOS, F. H. (Org.). **Serra de Baturité**: uma visão integrada das questões ambientais. Fortaleza: Expressão Gráfica e Editor, 2011. p. 35–59.

BIERMAN, P. R.; BENDER, A. M.; CHRIST, A. J.; CORBETT, L. B.; HALSTED, C. T.; PORTENGA, E. W.; SCHMIDT, A. H. Dating by cosmogenic nuclides. In: ALDERTON, D. H. M. (Ed.). **Encyclopedia of Geology**. 2. ed. Elsevier, 2021. p. 101–115.

BRAUCHER, R.; MERCHEL, S.; BORGOMANO, J.; BOURLÈS, D. L. Production of cosmogenic radionuclides at great depth: A multi element approach. **Earth and Planetary Science Letters**, v. 309, n. 1–2, p. 1–9, 2011.

BRAUCHER, R.; BOURLÈS, D. L.; BROWN, E. T.; COLIN, F.; MULLER, J.-P.; BRAUN, J.-J.; DELAUNE, M.; EDOU MINKO, A.; LESCOUET, C.; RAISBECK, G. M.; YIOU, F. Application of in situ-produced cosmogenic <sup>10</sup>Be and <sup>26</sup>Al to the study of lateritic soil development in tropical forest: theory and examples from Cameroon and Gabon. **Chemical Geology**, v. 170, n. 1–4, p. 95–111, 2000.

BRITO NEVES, B. B. América do Sul: quatro fusões, quatro fissões e o processo acrescionário andino. **Revista Brasileira de Geociências**, v. 29, n. 3, p. 379–392, 1999.

BRITO NEVES, B. B.; SANTOS, E. J.; VAN SCHMUS, W. R. Tectonic history of the Borborema Province, Northeastern Brazil. In: CORDANI, G. U.; MILANI, E. J.; THOMAZ FILHO, A.; CAMPOS, D. A. (Orgs.). **Tectonic Evolution of South America**. 31st International Geological Congress, Rio de Janeiro. Rio de Janeiro: Serviço Geológico do Brasil, 2000. p. 151–182.

BROWN, E. T.; EDMOND, J. M.; RAISBECK, G. M.; YIOU, F.; KURZ, M. D.; BROOK, E. J. Examination of surface exposure ages of Antarctic moraines using in situ produced <sup>10</sup>Be and <sup>26</sup>Al. **Geochimica et Cosmochimica Acta**, v. 55, p. 2269–2283, 1991.

CORDEIRO, A. M. N.; BASTOS, F. H.; SIAME, L.; LIMA, D. L. S. Geomorphology of the Maranguape and Aratanha massifs, Borborema Province, Northeast of Brazil. **Revista Brasileira de Geomorfologia**, v. 24, n. 1, 2023.

FETTER, A. H.; VAN SCHMUS, W. R.; SANTOS, T. J. S.; NOGUEIRA NETO, J. A.; ARTHAUD, M. H. U-Pb and Sm-Nd geochronological constraints on the crustal evolution and basement architecture of Ceará State, NW Borborema Province, NE Brazil: implications for the existence of the Paleoproterozoic supercontinent "Atlantica". Revista Brasileira de Geociências, v. 30, n. 1, p. 102–106, 2000.



FUNCEME – FUNDAÇÃO CEARENSE DE METEOROLOGIA E RECURSOS HÍDRICOS. **Postos Pluviométricos do Estado do Ceará (1991–2024)**. Fortaleza: FUNCEME, 2024.

GOSSE, J. C.; PHILLIPS, F. M. Terrestrial in situ cosmogenic nuclides: theory and application. **Quaternary Science Reviews**, v. 20, n. 14, p. 1475–1560, 2001.

LIMA, D. L. S.; BASTOS, F. H.; CORDEIRO, A. M. N.; MAIA, R. P. Geomorfologia granítica do Maciço de Uruburetama, Ceará, Brasil. **Revista Brasileira de Geomorfologia**, v. 20, n. 2, p. 331–346, 2019.

MAIA, R. P.; BEZERRA, F. H. R.; CLAUDINO-SALES, V. Geomorfologia do Nordeste: concepções clássicas e atuais acerca das superfícies de aplainamento nordestinas. **Revista de Geografia**, Recife, PE, v. 27, n. 1, p. 6–19, set. 2010.

MERCHEL, S.; HERPERS, U. An update on radiochemical separation techniques for the determination of long-lived radionuclides via accelerator mass spectrometry. **Radiochimica Acta**, v. 84, n. 4, p. 215–219, 1999.

PEULVAST, J.-P.; CLAUDINO-SALES, V. Stepped surfaces and palaeolandforms in the northern Brazilian "Nordeste": constraints on models of morphotectonic evolution. **Geomorphology**, v. 62, n. 1–2, p. 89–122, 2004.

PINÉO, T. R. G.; PALHETA, E. S. M.; COSTA, F. G.; VASCONCELOS, A. M.; GOMES, I. P.; GOMES, F. E. M.; BESSA, M. D. M. R.; LIMA, A. F.; HOLANDA, J. L. R.; FREIRE, D. P. C. **Mapa geológico do Estado do Ceará**. Projeto Geológico do Brasil/CPRM, 2020.

PITOMBEIRA, J. P. A.; AMARAL, W. S.; SANTOS, T. J. S.; DANTAS, E. L.; FUCK, R. A. A new record of continental arc magmatism in the Ceará Central Domain, Borborema Province (NE Brazil): evidence from the Pacatuba-Maranguape Complex. **Precambrian Research**, v. 359, p. 1–28, 2021.

SAADI, A.; TORQUATO, J. R. Contribuição à neotectônica do Estado do Ceará. **Revista de Geologia da UFC**, v. 5, p. 5–38, 1992.

SIAME, L. L.; BRAUCHER, R.; BOURLÈS, D. L. Les nucléides cosmogéniques produits in-situ; de nouveaux outils en géomorphologie quantitative. **Bulletin de la Société géologique de France**, v. 171, n. 4, p. 383–396, 2000.

SOUZA, M. J. N. Bases naturais e esboço do zoneamento geoambiental do Estado do Ceará. In: LIMA, L. C. (Org.). Compartimentação territorial e gestão regional do Ceará. Fortaleza: FUNECE, 2000. p. 127–140.